

Churwalden: Heftige Kollision – drei Verletzte

27.02.2026

Am Donnerstag ist es auf der Hauptstrasse H3 zu einer Kollision zwischen zwei Fahrzeugen gekommen. Drei Personen wurden verletzt und mussten in Spitalpflege gebracht werden.

Kurz nach 11.30 Uhr geriet ein 81-jähriger Automobilist bei der Örtlichkeit Egga aus noch ungeklärten Gründen auf die Gegenfahrbahn und kollidierte dort mit dem entgegenkommenden Fahrzeug eines 57-Jährigen. Der 81-Jährige wurde mittelschwer verletzt, seine 79-jährige Mitfahrerin erlitt schwere Verletzungen. Die Rettung Chur brachte beide ins Kantonsspital Graubünden. Der 57-Jährige zog sich leichte Verletzungen zu und wurde mit dem Rettungsdienst Mittelbünden ins Spital nach Thusis überführt.

H3 während zwei Stunden gesperrt

Zur Sicherung der Fahrzeuge sowie zur Unterstützung bei der Bergung der Verletzten standen Kräfte der Strassenrettung Feuerwehr Chur im Einsatz. Die beiden Fahrzeuge mussten getrennt und abtransportiert werden. Anschliessend reinigten Mitarbeitende des Tiefbauamtes die Fahrbahn. Nach rund zwei Stunden war die Unfallstelle vollständig geräumt und der Verkehr konnte wieder ungehindert zirkulieren. Zusammen mit der Staatsanwaltschaft wird die Unfallursache durch die Kantonspolizei Graubünden abgeklärt.



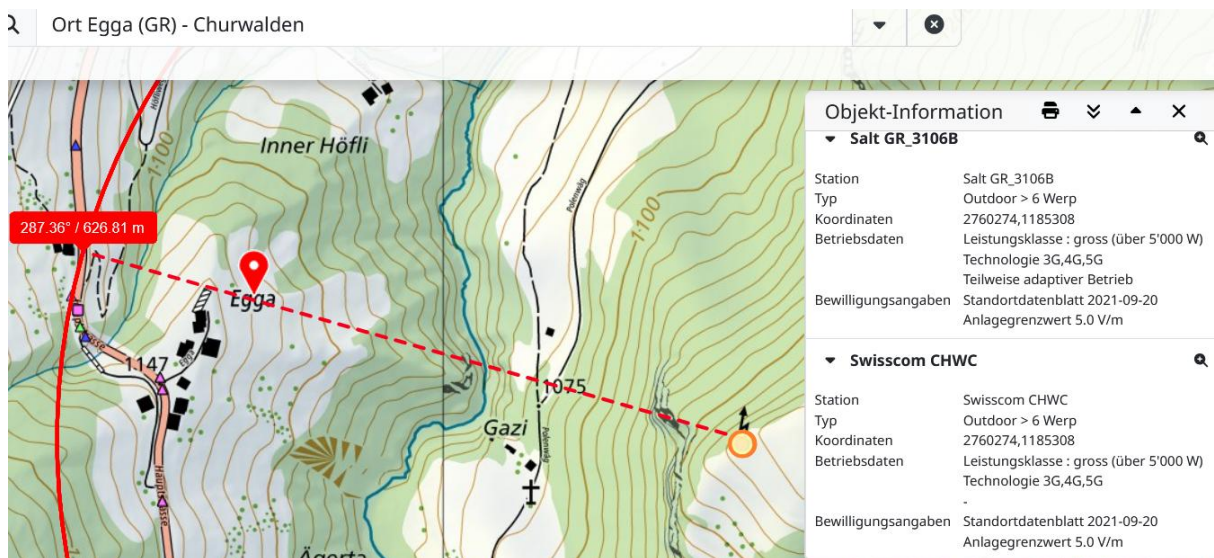
<https://www.gr.ch/DE/institutionen/verwaltung/djsg/kapo/aktuelles/medien/2026/Seiten/202602271.aspx>

Elektrosmog im Unfallablauf

Der Verunfallte ist **hier** gradeaus gefahren, statt einer leichten Richtungskorrektur.



Dabei ist er links-exponiert zu 3 sehr starken Sendern, aktuell in der Kategorie «schweizweites Maximum» - siehe weiter unten:



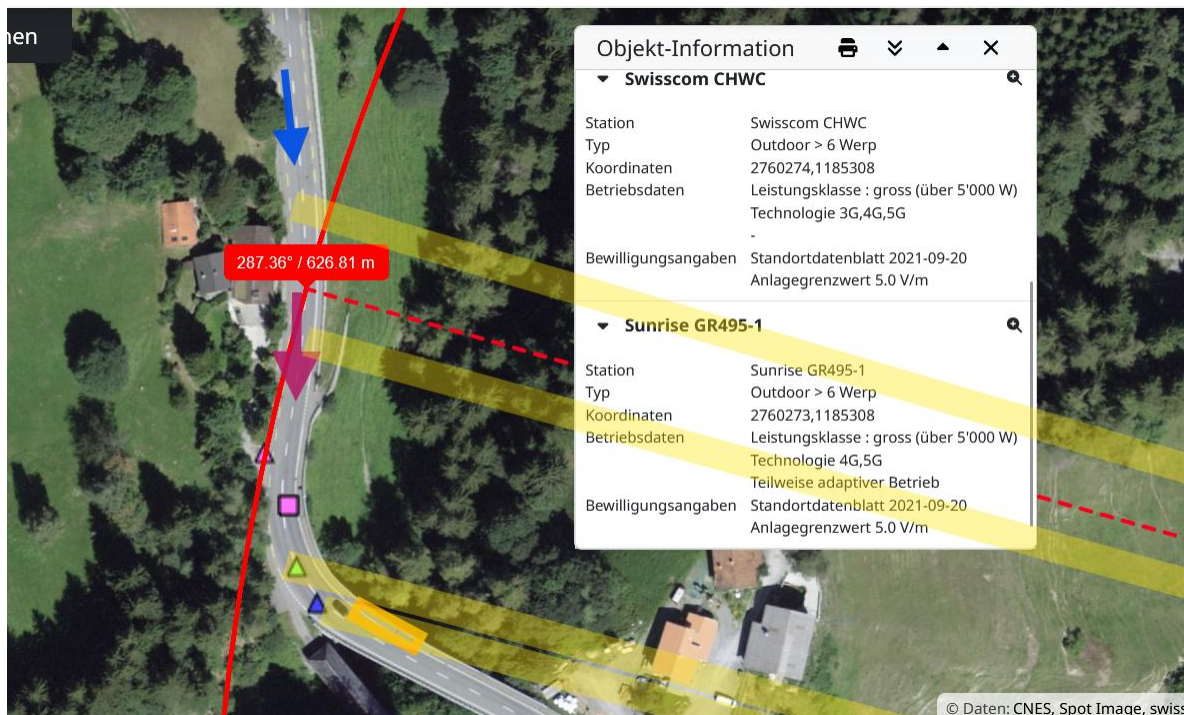
Die Strahlung wird durch die beiden adaptiven Sender zum öffentlichen Verkehrsmittel deutlich verstärkt.

Das in der Regel gut besetzte Postauto ist gemäss Foto innerhalb des Streubereichs (auch adaptiver Sender von $2 \times 6^\circ$) um den Strahl.

In der bildlich belegten Fahrlage befindet sich zudem das Postauto an zweiter Stelle - hinter dem angefahrenen Lieferwagen. Erfahrungsgemäss mit eher knappen Abständen.

Hier entsteht wahrscheinlich eine Flankenreflexion am langen Fahrzeug, die zusätzlich in die Kurvensituation einwirkt, wo der betagte Lenker gescheitert ist.

Die Fahrbahn des Postautos ist in der Anfahrt auf die Kurve horizontal, in der Kurve leicht geneigt gegen innen.



Nur die – offensichtlich längst **veralteten** - Swisscom-Leistungen sind abrufbar:

Churwalden Cadresch	5G	Swisscom 780.5 MHz	2760274 1185308	254 320°	V
Churwalden Cadresch	5G	Swisscom 2130.3 MHz	2760274 1185308	361 320°	V

Die Daten von Salt und Sunrise sind nicht auffindbar.

NIS-Fachstelle GR angefragt zum Standortdatenblatt:

Das untengenannte NIS-Standortdatenblatt habe ich Ihnen schon am 1. April 2025 zugestellt (siehe Anhang). Die Rev. 3.0 ist immer noch aktuell in Betrieb.

Zusatzblatt 1: Angaben zur Antennengruppe 1

Beschreibung der Antennengruppe:

Anzahl Masten: 1

Nr. der Antenne	2STJKE / 2STSUO	2STX	1STJKE / 1STSUO	1STX	1SC0709 / 1SC1426 / 1SC3636	2SC0709 / 2SC1426 / 2SC3636	A_SRLW / A_SRHG / A_SR36	B_SRLW / B_SRHG / B_SR36		
Netzbetreiber	Salt	Salt	Salt	Salt	Swisscom	Swisscom	Sunrise	Sunrise		
ERP: Sendeleistung (in W)	12000	3500	12000	3500	13500	13500	13500	13500		
Hauptstrahlrichtung: Azimut (in Grad von N)	190°	190°	350°	350°	180°	320°	180°	340°		

In eine Richtung kumulierte Sendeleistung

Höchstbelastete Sende-richtung: Azimut (in Grad von N)	
ERP _{90°} : kumulierte Sendeleistung in diese Richtung	

In einen Sektor kumulierte Sendeleistung

Höchstbelasteter 90°-Sektor: Azimut (in Grad von N)	von 140° bis 230°
ERP _{90°} : kumulierte Sendeleistung in diesen Sektor	42500 W

Zusatzblatt 2: Technische Angaben zu den Sendeantennen für Mobilfunk und drahtlose Teilnehmeranschlüsse

Höhenkote 0: 1237.31m ü.M.

Laufnummer n	1	2	3	4	5	6	7	8	9	10
Nr. der Antenne	2STJKE	1STJKE	2STSUO	1STSUO	2STX	1STX	A_SRLW	B_SRLW	A_SRHG	B_SRHG
Frequenzband (in MHz)	700 - 900	700 - 900	1800 - 2600	1800 - 2600	3400	3400	700 - 900	700 - 900	1400 - 2600	1400 - 2600
Netzbetreiber	Salt	Salt	Salt	Salt	Salt	Salt	Sunrise	Sunrise	Sunrise	Sunrise
Typenbezeichnung der Antenne	AHP4518R4 v06_LA	AHP4518R4 v06_LA	AHP4518R4 v06_LA	AHP4518R4 v06_LA	AAU5339w_3400	AAU5339w_3400	AAU5831	AAU5831	AAU5831	AAU5831
Adaptiver Betrieb mit K _{AA} < 1	Nein	Nein	Nein	Nein	Ja	Ja	Nein	Nein	Nein	Nein
Anzahl Sub-Arrays	-	-	-	-	16	16	-	-	-	-
Distanz (x/y) zum Koordinaten-Nullpunkt (in m)	0.00 / 0.00	0.00 / 0.00	0.00 / 0.00	0.00 / 0.00	0.00 / 0.00	0.00 / 0.00	0.00 / 0.00	0.00 / 0.00	0.00 / 0.00	0.00 / 0.00
Höhe der Antenne (z) über Höhenkote 0 (in m)	23.00	23.00	23.00	23.00	22.00	22.00	15.00	15.00	15.00	15.00
ERP _n : Sendeleistung (in W)	4000	4000	8000	8000	3500	3500	3375	3375	6750	6750

Hauptstrahlrichtung

Azimut (in Grad von N)	190°	350°	190°	350°	190°	350°	180°	340°	180°	340°
Mechanischer Neigungswinkel (down tilt, in Grad von der Horizontalen)	2°	0°	2°	0°	2°	0°	0°	-2°	0°	-2°
Elektrischer Neigungswinkel (down tilt, in Grad)	0° - -10°	0° - -10°	-2° - -12°	-2° - -12°	2° - -13°	2° - -13°	-2° - -12°	-2° - -12°	-2° - -12°	-2° - -12°
Gesamter Neigungswinkel (down tilt, in Grad von der Horizontalen)	2° - -8°	0° - -10°	0° - -10°	-2° - -12°	4° - -11°	2° - -13°	-2° - -12°	-4° - -14°	-2° - -12°	-4° - -14°

Relevant für die Ermittlung des Einspracheperimeters sind die Antennen im Sektor von 140° bis 230°

Zusatzblatt 2: Technische Angaben zu den Sendeantennen für Mobilfunk und drahtlose Teilnehmeranschlüsse

Höhenkote 0: 1237.31m ü.M.

Laufnummer n	11	12	13	14	15	16	17	18		
Nr. der Antenne	A_SR36	B_SR36	1SC0709	2SC0709	1SC1426	2SC1426	1SC3636	2SC3636		
Frequenzband (in MHz)	3600	3600	700 - 900	700 - 900	1400 - 2600	1400 - 2600	3600	3600		
Netzbetreiber	Sunrise	Sunrise	Swisscom	Swisscom	Swisscom	Swisscom	Swisscom	Swisscom		
Typenbezeichnung der Antenne	AAU5831	AAU5831	A114521R1v06	A114521R1v06	A114521R1v06	A114521R1v06	A114521R1v06	A114521R1v06		
Adaptiver Betrieb mit K _{AA} < 1	Ja	Ja	Nein	Nein	Nein	Nein	Nein	Nein		
Anzahl Sub-Arrays	16	16	-	-	-	-	-	-		
Distanz (x/y) zum Koordinaten-Nullpunkt (in m)	0.00 / 0.00	0.00 / 0.00	0.00 / 0.00	0.00 / 0.00	0.00 / 0.00	0.00 / 0.00	0.00 / 0.00	0.00 / 0.00		
Höhe der Antenne (z) über Höhenkote 0 (in m)	15.00	15.00	18.75	18.75	18.75	18.75	18.75	18.75		
ERP _n : Sendeleistung (in W)	3375	3375	3500	3500	5500	5500	4500	4500		

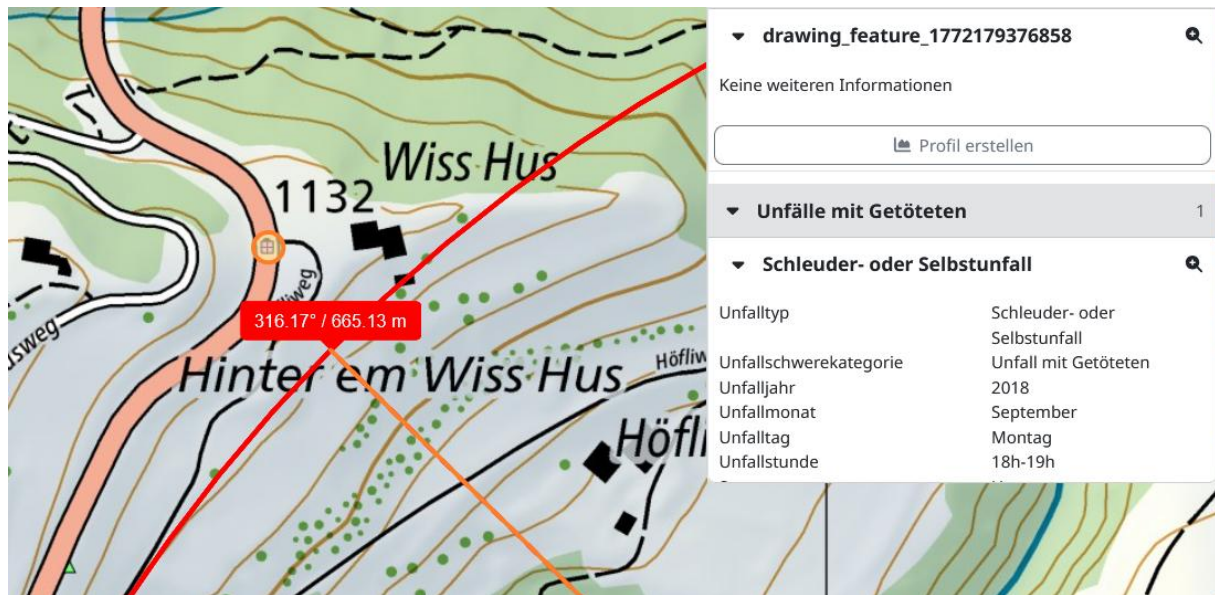
Hauptstrahlrichtung

Azimut (in Grad von N)	180°	340°	180°	320°	180°	320°	180°	320°		
Mechanischer Neigungswinkel (down tilt, in Grad von der Horizontalen)	0°	-2°	0°	0°	0°	0°	0°	0°		
Elektrischer Neigungswinkel (down tilt, in Grad)	2° - -13°	2° - -13°	0° - -14°	0° - -14°	-2° - -12°	-2° - -12°	-2° - -12°	-2° - -12°		
Gesamter Neigungswinkel (down tilt, in Grad von der Horizontalen)	2° - -13°	0° - -15°	0° - -14°	0° - -14°	-2° - -12°	-2° - -12°	-2° - -12°	-2° - -12°		

Relevant für die Ermittlung des Einspracheperimeters sind die Antennen im Sektor von 140° bis 230°

Ein unerklärlicher Schleuderunfall 2021 (Motorrad, Sozia) in der vorherigen Kurve:
https://hansuelistettler.ch/images/unfallanalysen/5891_Churwalden_23.05.2021.pdf

Ein Schleuderunfall ereignete sich 2018 im Hauptstrahlzentrum 320°



<https://www.gr.ch/DE/institutionen/verwaltung/djsg/kapo/aktuelles/medien/2018/Seiten/201809181.aspx>

Der Lenker (46) war in der Ausgangslage genau rechts (maximal) exponiert, vermutlich an einem Infarkt gestorben:

https://hansuelistettler.ch/images/unfallanalysen/2527_Malix_17.09.2018.pdf

Wetter im Unfallzeitpunkt trocken – Strahlung ungedämpft.

Zum Verständnis der Abläufe bei solchen Unfällen:

Niels Kuster et al. **NFP 57**: http://www.snf.ch/SiteCollectionDocuments/nfp/nfp57/nfp57_synthese_d.pdf
[Mobilfunk bewirkt Veränderungen der Hirnströme](#)

Einwirkungen von Strahlung auf Prozesse im Gehirn: <https://www.diagnose-funk.org/aktuelles/artikel-archiv/detail?newsid=2257>

Ahonen, Koppel, Carlbert et al. Very high radiofrequency radiation at Skeppsbron (...), from mobile phone base station antennas positioned close to pedestrians' heads
<https://pubmed.ncbi.nlm.nih.gov/34995546/>

M. Mevissen / D. Schürmann: Manmade Electromagnetic Fields and Oxidative Stress—Biological Effects and Consequences for Health. <https://www.mdpi.com/1422-0067/22/7/3772>

«Der unklare Unfall in der Verkehrsmedizin» (AGU-Seminar 2015) Dr. Ulfert Grimm Fachbereich Verkehrsmedizin Institut für Rechtsmedizin St.Gallen <http://aqu.ch/1.0/pdf/aqu-seminar15.pdf>

«Wirkungen des Mobil- und Kommunikationsfunks» Eine Schriftenreihe der Kompetenzinitiative zum Schutz von Mensch, Umwelt und Demokratie e.V.

<https://www.diagnose-funk.org/publikationen/dokumente-downloads/kompetenzinitiative-broschuerenreihe>

Wirkungen von Elektrosmog auf Verkehrsunfälle: <https://www.hansuelistettler.ch/elektrosmog/elektrosmog-im-verkehr/studie>

Keine Messung von Sendeleistungen 5G: <https://www.gigahertz.ch/5g-alarmierende-ergebnisse-erster-testmessungen/>

Funktionsweise von 5G-Antennen: "Understanding Massive MIMO in roughly 2 minutes":
<https://www.youtube.com/watch?v=XBb481RNqGw>

Visualisierung der 5G-spezifischen Reflexionen, von Ericsson: <https://www.youtube.com/watch?v=yTbUSXJ8M-8>

5G-Adaptiv reagiert auf Kollektiv-Verkehrsmittel: https://www.youtube.com/watch?v=pTKa_cEGvJA
Bellinzona: <https://www.youtube.com/watch?v=ekCtC7vJ7Ew>

Zum Thema Herzrhythmus hat Prof. Magda Havas, Trent University, publiziert:
<https://magdahavas.com/electrosmog-exposure/home-environment/new-study-radiation-from-cordless-phone-base-station-affects-the-heart/> Zusammenfassung im emf-portal: <https://www.emf-portal.org/de/article/18905>

Forschungsstand zu wlan: <https://www.diagnose-funk.org/aktuelles/artikel-archiv/detail&newsid=1943>

Magnetfelder unter Hochspannungsleitungen: <https://www.bfs.de/SharedDocs/Videos/BFS/DE/emf-stromleitung.html>

Erklärende Videos auf youtube: <https://www.youtube.com/channel/UC86uloS8IoowSGOGfpMyrsg>

Hansueli Stettler.Bauökologie.Funkmesstechnik.Lindenstrasse 132.9016 St.Gallen.www.hansuelistettler.ch.info@hansuelistettler.ch